

В.М. КОЛОМІЄЦЬ, С.В. ЛУК'ЯНОВ

Інститут ядерних досліджень НАН України

(Просп. Науки, 47, Київ 03680; e-mail: lukyanov@kinr.kiev.ua)

УДК 539.142

## ДИФУЗІЯ НА ДЕФОРМОВАНІЙ ПОВЕРХНІ ФЕРМІ

*Розглянуто наближення дифузії для опису процесу релаксації на збуреній поверхні Фермі у фермі-рідині. Встановлено залежність часу релаксації від мультипольності деформації поверхні Фермі. Досліджено часову еволюцію нерівноважних збуджень частинка-дірка.*

*Ключові слова:* кінетична теорія, фермі-рідина, наближення дифузії, час релаксації, частинка-дірка.

### 1. Вступ

Важливим аспектом динаміки фермі-рідини є наявність фермі-руху частинок та пов'язані з ним ефекти динамічного збурення поверхні Фермі. Обидва явища можна розглядати в квазікласичному наближенні, в якому початкові квантово-механічні рівняння руху трансформуються в рівняння руху для локальних величин, таких як густина нуکلонів, потік густини, тиск, тощо [1,2]. Зазвичай це робиться шляхом врахування деформації поверхні Фермі. Таке наближення дає простий та водночас прозорий опис висококолективізованих ядерних гігантських резонансів і встановлює співвідношення між мікроскопічною теорією та феноменологічними моделями, зокрема ядерною моделлю рідкої краплини [3–6].

Урахування збурення поверхні Фермі приводить до появи деяких особливостей в динаміці фермі-рідини, зокрема до збудження поперечних хвиль [1, 3, 4]. Цей ефект відсутній у звичайній класичній нев'язкій гідродинаміці. Певні труднощі виникають при описі згасання колективного руху, де опис динаміки макроскопічної ядерної рідини є далеким від завершення. Зазначимо, що узагальнення теорії з метою опису дисипативних ефектів приводить до необхідності врахування збурення по-

верхні Фермі в інтегралі зіткнень, що є ключовим елементом кінетичної теорії фермі-рідини [5, 7, 8].

У даній роботі для опису дисипації на збуреній поверхні Фермі використано дифузійне наближення [9]. Це наближення дає простий результат для залежності часу релаксації від мультипольності деформації поверхні Фермі. В розділі 2 розглянуто кінетичне рівняння для функції розподілу Вігнера та зроблено його спрощуючі перетворення із застосуванням дифузійного наближення. В розділі 3 встановлюється залежність часу релаксації від мультипольності збурення поверхні Фермі та досліджується релаксація збуджень типу частинка-дірка. Висновки наведені в розділі 4.

### 2. Наближення дифузії для зіштовхувального кінетичного рівняння

Розпочнемо розгляд із зіштовхувального кінетичного рівняння у наступній, адаптованій до проблем ядерної фізики, формі [10, 11]:

$$\frac{\partial f_1(\mathbf{R}, \mathbf{p}_1; t)}{\partial t} + \hat{L}f_1(\mathbf{R}, \mathbf{p}_1; t) = \delta\text{St}\{f\}. \quad (1)$$

Тут  $f(\mathbf{r}, \mathbf{p}; t)$  – функція розподілу Вігнера у фазовому просторі,  $\delta\text{St}\{f\}$  – інтеграл зіткнень, а оператор  $\hat{L}$  дається виразом

$$\hat{L} = \frac{1}{m} \mathbf{p} \cdot \nabla_{\mathbf{R}} - (\nabla_{\mathbf{R}}U) \cdot \nabla_{\mathbf{p}}. \quad (2)$$

ISSN 2071-0194. Укр. фіз. журн. 2014. Т. 59, № 8

Одночастинковий потенціал  $U$  у виразі (2) включає в себе, у загальному випадку, самоузгоджене та зовнішнє поля. Обмежуючись борнівським наближенням для амплітуди розсіювання нуклонів, запишемо інтеграл зіткнень  $\delta St\{f\}$  в (1) такій формі:

$$\delta St\{f\} = \int \frac{g^2 d\mathbf{p}_2 d\mathbf{p}_3 d\mathbf{p}_4}{(2\pi\hbar)^6} w(\{\mathbf{p}_j\}) Q(\{f_j\}) \times \delta(\Delta\epsilon)\delta(\Delta\mathbf{p}), \quad (3)$$

де  $w(\{\mathbf{p}_j\}) \equiv w(\mathbf{p}_1, \mathbf{p}_2; \mathbf{p}_3, \mathbf{p}_4)$  – усереднена по спіну та ізотопічному спіну імовірність розсіювання двох нуклонів, множник  $g = 4$  враховує виродження по спіну та ізотопічному спіну,  $Q(\{f_j\}) = f_1 f_2 (1 - f_3)(1 - f_4) - (1 - f_1)(1 - f_2) f_3 f_4$  – фактор блокування Паулі,  $\Delta\mathbf{p} = \mathbf{p}_1 + \mathbf{p}_2 - \mathbf{p}_3 - \mathbf{p}_4$  і  $\Delta\epsilon = \epsilon_1 + \epsilon_2 - \epsilon_3 - \epsilon_4$ . Тут  $\epsilon_j = p_j^2/2m + U(r_j)$  – одночастинкова енергія. Інтегруючи в інтегралі зіткнень (3) по початкових,  $\mathbf{p}_2$  і кінцевих,  $\mathbf{p}_4$ , імпульсах частинок в оточуючому середовищі, ми перепишемо кінетичне рівняння (1) у вигляді майстер-рівняння, яке включає притоковий та відтоковий члени. А саме:

$$\frac{\partial f_1(\mathbf{R}, \mathbf{p}_1; t)}{\partial t} + \hat{L}f_1(\mathbf{R}, \mathbf{p}_1; t) = \int \frac{g d\mathbf{p}_2}{(2\pi\hbar)^3} \times \left[ W_{2 \rightarrow 1}(\mathbf{p}_1, \mathbf{p}_2) \tilde{f}_1(\mathbf{R}, \mathbf{p}_1; t) f_2(\mathbf{R}, \mathbf{p}_2; t) - W_{1 \rightarrow 2}(\mathbf{p}_1, \mathbf{p}_2) \tilde{f}_2(\mathbf{R}, \mathbf{p}_2; t) f_1(\mathbf{R}, \mathbf{p}_1; t) \right], \quad (4)$$

де  $\tilde{f}_j = 1 - f_j$ . Величина  $W_{i \rightarrow j}(\mathbf{p}_1, \mathbf{p}_2)$  являє собою імовірність розсіювання з переходом частинки із стану  $\mathbf{p}_i$  в стан  $\mathbf{p}_j$  в оточенні частинок середовища. Ця величина включає імовірність як прямого розсіювання двох нуклонів,  $1 \rightarrow 2$ , так і зворотного,  $2 \rightarrow 1$ . Ці імовірності збігаються в силу принципу детального балансу. Зазначимо також, що імовірність  $W_{i \rightarrow j}(\mathbf{p}_1, \mathbf{p}_2)$  залежить від функцій розподілу  $f(\mathbf{r}, \mathbf{p})$  в початкових та кінцевих станах. У найнижчому порядку борнівського наближення ці функції можуть бути замінені на рівноважні функції розподілу  $f_{eq}(\mathbf{R}, \mathbf{p})$ , які є ізотропними в імпульсному просторі. Ми припустимо також, що головний внесок в імовірність розсіювання дають переходи, які відповідають малому переданому імпульсу:  $|\mathbf{p}_1 - \mathbf{p}_2| \ll p_F$ , де  $p_F$  – імпульс Фермі (останнє зумовлено тим, що внаслідок наявності

фактора  $\tilde{f}_j f_j$  основний внесок в інтеграл зіткнень дають стани, що лежать поблизу поверхні Фермі, див. також [11]). Приймаючи це до уваги, ми скористаємось таким розкладом для імовірності розсіювання  $W_{i \rightarrow j}(\mathbf{p}_1, \mathbf{p}_2)$ :

$$W(\mathbf{p}_1, \mathbf{p}_2) = W(|\mathbf{p}_1 + \mathbf{s}/2|, s) = W(p_1, s) + \frac{1}{2} s_\nu \nabla_{p_1, \nu} W(p_1, s) + \frac{1}{8} s_\nu s_\mu \nabla_{p_1, \nu} \nabla_{p_1, \mu} W(p_1, s) + \dots \quad (5)$$

де  $\mathbf{s} = \mathbf{p}_2 - \mathbf{p}_1$ , а підсумовування відбувається по індексах, що повторюються.

Підставляючи вираз (5) в рівняння (4), та зберігаючи члени до другого порядку по переданому імпульсу включно, ми перепишемо майстер-рівняння (4) таким чином:

$$\frac{\partial f_1}{\partial t} + \hat{L}f_1 = -\nabla_{p_1, \nu} \left[ K_p (\nabla_{p_1, \nu} \epsilon_1) f_1 \tilde{f}_1 + f_1^2 \nabla_{p_1, \nu} D_p \right] + \nabla_{p_1}^2 (f_1 D_p). \quad (6)$$

Тут коефіцієнт дифузії  $D_p$  в імпульсному просторі має вигляд [9]:

$$D_p = \frac{1}{2} g(p_1) \int ds s^2 w(p_1, s), \quad (7)$$

а коефіцієнт рухливості  $K_p$  пов'язаний з коефіцієнтом дифузії  $D_p$  співвідношенням

$$K_p = g^{-1}(p_1) \frac{\partial}{\partial \epsilon_1} g(p_1) D_p. \quad (8)$$

Права частина рівняння (6) може бути ідентифікована як редукований інтеграл зіткнень:

$$St\{f\} = -\nabla_{p_1, \nu} \left[ K_p (\nabla_{p_1, \nu} \epsilon_1) f_1 \tilde{f}_1 + f_1^2 \nabla_{p_1, \nu} D_p \right] + \nabla_{p_1}^2 (f_1 D_p). \quad (9)$$

### 3. Час релаксації для збуреної поверхні Фермі

Транспортне рівняння (6) є нелінійним, диференціальним рівнянням для функції розподілу Вігнера  $f(\mathbf{R}, \mathbf{p}; t)$ . В подальшому, ми розглянемо це рівняння в наближенні:  $D_p = \text{const}$ ,  $K_p = \text{const}$ . Перепишемо його таким чином:

$$\frac{\partial f}{\partial t} + \hat{L}f = -K_p \nabla_{p, \nu} f \tilde{f} \nabla_{p, \nu} \epsilon + D_p \nabla_p^2 f. \quad (10)$$

У стаціонарному випадку  $\partial f/\partial t = 0$  це рівняння задовольняється рівноважною функцією розподілу  $f_{\text{eq}}$ , яка відповідає сферичній поверхні Фермі і має вигляд

$$f = f_{\text{eq}}(\mathbf{R}, \mathbf{p}) = \left(1 + \exp \frac{p^2/2m + U - \lambda}{T}\right)^{-1}, \quad (11)$$

де  $\lambda$  – хімічний потенціал, який знаходиться з умови збереження числа частинок  $A$ :

$$\int \frac{g d\mathbf{R} d\mathbf{p}}{(2\pi\hbar)^3} f_{\text{eq}}(\mathbf{R}, \mathbf{p}) = A. \quad (12)$$

Зазначене твердження впливає із визначення (2) для оператора  $\hat{L}$ :

$$\hat{L} f_{\text{eq}} = 0,$$

а також з того факту, що права частина рівняння (10)

$$\text{St}\{f\} = -K_p \nabla_{p,\nu} f \tilde{f} \nabla_{p,\nu} \epsilon + D_p \nabla_p^2 f \quad (13)$$

для  $D_p = \text{const}$ ,  $K_p = \text{const}$  дорівнює нулю при  $f = f_{\text{eq}}$  і

$$T = -D_p/K_p. \quad (14)$$

Останнє співвідношення може бути інтерпретоване як визначення температури  $T$ .

### 3.1. Мультипольна деформація поверхні Фермі

Для аналізу залежності інтеграла зіткнень  $\text{St}\{f\}$  від мультипольності деформації поверхні Фермі, ми розглянемо мале відхилення  $\delta f = f - f_{\text{eq}}$  функції розподілу від її значення у рівновазі. Розкладемо це відхилення в ряд по сферичних функціях [11]:

$$\delta f = -\frac{\partial f_{\text{eq}}}{\partial \epsilon} \sum_{lm} \nu_{lm}(\mathbf{r}, t) Y_{lm}(\Omega_p). \quad (15)$$

Підставляючи цей розклад у вираз для лінеаризованого інтеграла зіткнень (13), отримуємо мультипольний розклад, який містить всі мультипольні члени  $l$ , починаючи з  $l = 0$ . Цей результат отримується як наслідок використаного вище дифузійного наближення. Однак, коректний вираз для інтеграла зіткнень не містить членів з  $l = 0$  та  $l = 1$

внаслідок умов збереження повних кількості частинок та імпульсу в зіткненнях. Враховуючи ці умови, розклад (15) та лінеаризований по відношенню до  $\delta f$  вираз для інтеграла зіткнень (9), визначимо час релаксації  $\tau_{r,l}$  при збуренні поверхні Фермі мультипольності  $l$  таким чином:

$$\begin{aligned} \frac{1}{\tau_{r,l}} &= -\frac{\int \frac{d\mathbf{p}}{(2\pi\hbar)^3} \text{St}\{f\} Y_{lm}(\Omega_p)}{\int \frac{d\mathbf{p}}{(2\pi\hbar)^3} \delta f Y_{lm}(\Omega_p)} = \\ &= \frac{D_p(p_F)}{p_F^2} l(l+1), \quad l \geq 2. \end{aligned} \quad (16)$$

Як видно з рівняння (16), член рухливості, а у зв'язку з цим і середнє ядерне поле  $U$ , не дає внеску в час релаксації  $\tau_{r,l}$ , який отриманий внаслідок використання наближення дифузії на збуреній поверхні Фермі.

З рівняння (16) також видно, що при зростанні мультипольності деформації поверхні Фермі  $l$  час релаксації  $\tau_{r,l}$  зменшується як  $\sim l^{-2}$ . При застосуванні наближення ядерної рідинної динаміки (ЯРД) [3, 14] припускається, що для ізоскалярних збуджень можна обмежитись мультипольністю збурення поверхні Фермі  $l = 2$ . Зазначене вище швидке згасання вищих мультипольностей збурення поверхні Фермі в (16) дає аргумент на користь придатності наближення ЯРД для опису висококолективізованих ядерних збуджень.

Співвідношення (16) можна використати для отримання величини коефіцієнта дифузії  $D_p(p_F)$  із експериментальних ядерних даних. В рамках наближення ЯРД час релаксації  $\tau_{r,l=2}$  визначає ширину  $\Gamma_{\text{GQR}}$  ізоскалярного гігантського квадрупольного резонансу (ГКР) таким чином (див. [14]):

$$\Gamma_{\text{GQR}} = \frac{4 \epsilon_F \hbar}{m r_0^2} \frac{\tau}{1 + (\omega_R \tau)^2} A^{-2/3}, \quad (17)$$

де  $\epsilon_F$  – енергія Фермі,  $r_0$  – середня відстань між нуклонами в ядрі,  $\tau \equiv \tau_{r,l=2}$  і  $\omega_R$  – власна частота ГКР. На рис. 1 наведені результати розрахунків та порівняння з експериментальними даними для ширини ГКР в ядрах вздовж всієї періодичної системи елементів. Тут були використані такі величини:  $\epsilon_F = 40$  МеВ,  $r_0 = 1,2$  фм та експериментальне значення енергії ГКР  $\hbar\omega_R \approx 63A^{-1/3}$  МеВ. Використовуючи час релаксації  $\tau$  із (16), із підгонки ширини (17) до експериментальних даних

(див. суцільну криву на рис. 1) ми отримуємо таке значення ядерного коефіцієнта дифузії на збудженій поверхні Фермі:  $D_p(p_F) = D_p = 2,5 \cdot 10^{-21} \text{ MeV}^2 \cdot \text{фм}^{-2} \cdot \text{с}$ .

Як видно з рис. 1, з врахуванням квадрупольного збурення поверхні Фермі при використанні згаданого вище значення коефіцієнта дифузії  $D_p(p_F)$ , наближення ЯРД дає цілком задовільний опис ширин  $\Gamma_{\text{GQR}}$ .

Звернемо увагу на певну особливість ядерних ізовекторних збуджень, а саме, ізовекторний струм не зберігається в нейтрон-протонних зіткненнях [16] і тому дипольна деформація поверхні Фермі з  $l = 1$  має бути представлена в інтегралі зіткнень [2, 17, 18].

### 3.2. Збурення поверхні Фермі типу частинка-дірка

Інша можливість для збурення поверхні Фермі з'являється внаслідок початкового нерівноважного збудження типу частинка-дірка. Обмежимося випадком ядерної матерії, яка є однорідною в  $\mathbf{r}$ -просторі та припустимо сферичну симетрію поверхні Фермі з радіусом  $p_F$ . Імпульс Фермі отримується з умови збереження числа частинок  $A$  у фіксованому об'ємі  $\mathcal{V}$ :

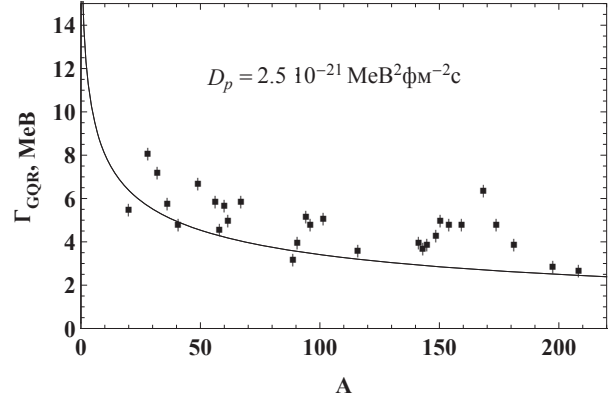
$$\int_0^{p_F} \frac{4\pi \mathcal{V} g}{(2\pi\hbar)^3} p^2 dp = A.$$

В початковий момент  $t = 0$  збурена функція розподілу  $f_{\text{in}}(p, t = 0)$  для збудження частинка-дірка дається виразом

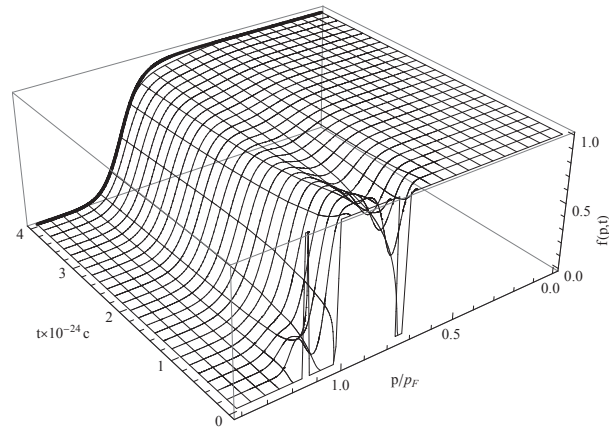
$$\begin{aligned} f_{\text{in}}(p, t = 0) &= \\ &= [1 - \theta(p - p'_1) + \theta(p - p'_2)] [1 - \theta(p - p_F)] + \\ &+ [1 - \theta(p - p_2)] \theta(p - p_1) \theta(p - p_F), \end{aligned} \quad (18)$$

який відтворює збудження частинки з імпульсом  $p_1 < p < p_2$ , та дірки з імпульсом  $p'_1 < p < p'_2$  для фіксованих величин  $p_1 > p_F$  та  $p'_2 < p_F$ , відповідно. Слід звернути увагу на те, що інтервали  $\Delta p' = p'_2 - p'_1$  та  $\Delta p = p_2 - p_1$  для збудження одна частинка – одна дірка мають задовольняти такі умови:

$$\int_0^{p_F} \frac{4\pi \mathcal{V} g dp}{(2\pi\hbar)^3} p^2 f_{\text{in}}(p, t = 0) = A - 1,$$



**Рис. 1.** Залежність ширини ізоскалярного ГКР від масового числа  $A$ . Результати отримані з використанням формул (17) та (16) при значенні коефіцієнта дифузії  $D_p(p_F) = D_p = 2,5 \cdot 10^{-21} \text{ MeV}^2 \cdot \text{фм}^{-2} \cdot \text{с}$ . Експериментальні дані взято з роботи [15]



**Рис. 2.** Еволюція в часі початкової функції розподілу (18) в імпульсному просторі з  $p'_1/p_F \simeq 0,71$ ,  $p'_2/p_F \simeq 0,75$ ,  $p_1/p_F \simeq 1,12$ ,  $p_2/p_F \simeq 1,13$ , що відповідає початковій енергії збудження  $E_{\text{ex}} = 30 \text{ MeV}$ . Жирна лінія – розподіл Фермі (11) з  $T = -D_p/K_p$ . Розрахунки зроблені для  $A = 16$

$$\int_{p_F}^{\infty} \frac{4\pi \mathcal{V} g dp}{(2\pi\hbar)^3} p^2 f_{\text{in}}(p, t = 0) = 1.$$

Приймаючи до уваги сферично симетричний розподіл частинок у імпульсному просторі, кінетичне рівняння (10) перепишемо таким чином:

$$\frac{\partial f}{\partial t} = -\frac{K_p}{m} \left[ p \frac{\partial}{\partial p} f \tilde{f} + 3f \tilde{f} \right] + \frac{D_p}{p^2} \frac{\partial}{\partial p} p^2 \frac{\partial}{\partial p} f. \quad (19)$$

Рівняння (19) може бути розв'язане числовими методами з початковою умовою (18). Нижче, в розрахунках ми використали такі значення транспортних коефіцієнтів:  $D_p = 2,5 \cdot 10^{-21} \text{ MeV}^2 \cdot \text{fm}^{-2} \cdot \text{с}$  та  $K_p = -6,2510^{-22} \text{ MeV} \cdot \text{fm}^{-2} \cdot \text{с}$ . Стартуючи з початкового стану  $f_{in}(p, t = 0)$  і покладаючи початкову енергію збудження  $E_{ex} = 30 \text{ MeV}$ , була обчислена часова еволюція функції розподілу Вігнера  $f(p, t)$ , яка наведена на рис. 2 для ядра  $A = 16$ . Як видно з рис. 2, імпульсний розподіл  $f(p, t)$  розвивається в напрямку рівноважного розподілу фермі-типу  $f_{eq}(p)$ , що має вигляд (11). Згідно із (14), відповідна рівноважна температура може бути оцінена як  $T = -D_p/K_p \approx 4 \text{ MeV}$ .

Зазначимо, що енергія збудження фермі-системи  $E_{ex}$  пов'язана з рівноважною температурою  $T$  відомим співвідношенням  $E_{ex} = aT^2$ , де  $a$  – параметр статистичної густини рівнів. Для нашого випадку знаходимо  $a \approx A/8,5 \text{ MeV}^{-1}$ . Отримане значення параметра густини рівнів  $a$  добре узгоджується з відповідною експериментальною величиною  $a_{exp} \approx A/8 \text{ MeV}^{-1}$  [19], що може свідчити про самоузгодженість дифузійного підходу при обчисленні таких різних величин, як ширина гігантських мультипольних резонансів і статистична густина рівнів.

#### 4. Висновки

Ми розглянули процес встановлення рівноваги в багатотільній фермі-системі, який зумовлений міжчастинковими зіткненнями на збуреній поверхні Фермі. У відповідності із флуктуаційно-дисипативною теоремою, наше наближення поєднує як дисипативний, так і дифузійний аспекти, що приводять до еволюції системи в часі в напрямку рівноважної межі. Ми розглянули два типи нерівноважних станів. Перший – мультипольна деформація поверхні Фермі, яка виникає внаслідок збудження звукової моди. При цьому ми встановили, що час релаксації швидко зменшується з ростом мультипольності  $l$  збурення поверхні Фермі. Час релаксації  $\tau_{r,l}$  залежить від коефіцієнта дифузії  $D_p$  і не залежить від коефіцієнта рухливості  $K_p$ . Другий – релаксація збуджень типу частинка–дірка. Ми показали, що відповідний час релаксації залежить від обох транспортних коефіцієнтів  $D_p$  та  $K_p$ , а система еволюціонує в напрямку рівноважної функції розподілу Фермі з рівноважною температурою  $T = -D_p/K_p$ .

1. G. Bertsch, Nucl. Phys. A **249**, 253 (1975).
2. V.M. Kolomietz and H.H.K. Tang, Phys. Scripta **24**, 915 (1981).
3. G. Eckart, G. Holzwarth, and J.P. da Providencia, Nucl. Phys. A **364**, 1 (1981).
4. V.M. Kolomietz, Sov. J. Nucl. Phys. **37**, 325 (1983).
5. A.G. Magner, V.M. Kolomietz, H. Hofmann, and S. Shlomo, Phys. Rev. C **51**, 2457 (1995).
6. D. Kiderlen, V.M. Kolomietz, and S. Shlomo, Nucl. Phys. A **608**, 32 (1996).
7. G. Bertsch, Z. Phys. A **289**, 103 (1978).
8. V.M. Kolomietz, V.A. Plujko, and S. Shlomo, Phys. Rev. C **54**, 3014 (1996).
9. E.M. Lifshitz and L.P. Pitaevskii, *Physical Kinetics* (Pergamon Press, Oxford, 1981), Ch. 2.
10. L.P. Kadanoff and G. Baym, *Quantum Statistical Mechanics* (Benjamin, London, 1962), Ch. 9.
11. A.A. Abrikosov and I.M. Khalatnikov, Rep. Progr. Phys. **22**, 329 (1959).
12. P. Ring and P. Schuck, *The Nuclear Many-Body Problem* (Springer-Verlag, New York, 1980), Ch. 13.
13. G. Wolshin, Phys. Rev. Lett. **48**, 1004 (1982).
14. V.M. Kolomietz and S. Shlomo, Phys. Rep. **690**, 133 (2004).
15. F.E. Bertrand, Nucl. Phys. A **354**, 129 (1981).
16. K. Ando, A. Ikeda, and G. Holzwarth, Z. Phys. A **310**, 223 (1983).
17. Cai Yanhuang and M. Di Toro, Phys. Rev. C **39**, 105 (1989).
18. M. Di Toro, V.M. Kolomietz, and A.B. Larionov, Phys. Rev. C **59**, 3099 (1999).
19. S. Shlomo and V.M. Kolomietz, Rep. Prog. Phys. **68**, 1 (2005).

Одержано 15.01.14

В.М. Коломієць, С.В. Лук'янов

#### ДИФФУЗИЯ НА ДЕФОРМИРОВАННОЙ ПОВЕРХНОСТИ ФЕРМИ

##### Резюме

Рассмотрено приближение диффузии для описания процесса релаксации на возмущенной поверхности Ферми в ферми-жидкости. Определена зависимость времени релаксации от мультипольности деформации поверхности Ферми. Исследована временная эволюция неравновесных частично-дырочных возмущений.

V.M. Kolomietz, S.V. Lukyanov

#### DIFFUSION ON THE DISTORTED FERMI SURFACE

##### Summary

The diffusion approximation to the relaxation on the distorted Fermi surface in a Fermi liquid is considered. The dependence of the relaxation time on the multipolarity of a Fermi surface deformation is established. The time evolution of the non-equilibrium particle-hole excitations is studied.